



УДК 629.12.001.2: 656.66.

ИССЛЕДОВАНИЕ ВОЗДУШНЫХ ПОТОКОВ НА ТЕРРИТОРИИ ОТКРЫТЫХ СКЛАДОВ МОРСКИХ И РЕЧНЫХ ПОРТОВ

Сикарев Сергей Николаевич¹, доцент

e-mail: <u>ssnvgavt@yandex.ru</u>

Тарасов Иван Сергевич¹, доцент

e-mail: <u>ivansptm@yandex.ru</u>

Аннотация. В настоящей работе обоснована актуальность применения методов математического моделирования для анализа аэродинамических процессов, происходящих в районе открытых угольных складов в портовых зонах.

Ключевые слова: открытый угольный склад, пылеобразование, пыление сыпучего груза, математическая модель.

INVESTIGATION OF AIR FLOWS ON THE TERRITORY OF OPEN WAREHOUSES OF SEA AND RIVER PORTS

Sergey N. Sikarev¹, Associate Professor

e-mail: ssnvgavt@yandex.ru

Ivan S. Tarasov¹, Associate Professor

e-mail: ivansptm@yandex.ru

Abstract. This paper substantiates the relevance of applying mathematical modeling methods to analyze the aerodynamic processes occurring in the area of open-pit coal depots in port areas.

Keywords: open coal storage, dust formation, dusting of bulk cargo, mathematical model.

На сегодняшний день одной из острых экологических проблем является загрязнение окружающей среды, вызванное распылением и просыпанием сыпучих материалов при выполнении погрузочно-разгрузочных операций [1, 2]. Существенное воздействие пылевого фактора ощущается жителями, проживающими в непосредственной, близости от территорий, занятых угольными складами – как в районах шахт и портов, так и вблизи временных открытых хранилищ. При ветровых порывах, превышающих 10 м/с, облака угольной пыли способны достигать жилых зон [3].

Изучение процессов пылеуноса в лабораторных условиях затруднено из-за масштабных эффектов и сложности воспроизведения реальных ветровых нагрузок. Кроме того, характер



¹ Волжский государственный университет водного транспорта, Нижний Новгород, Россия

¹ Volga State University of Water Transport, Nizhny Novgorod, Russia

распределения скоростей потока по высоте требует учета точечных источников и детального подхода к моделированию. В связи с этим численные методы моделирования приобретают всё большую популярность как наиболее экономически эффективный и информативный инструмент исследования подобных процессов.

Численное моделирование воздушного потока

Воздействие воздушного потока на территорию открытых портовых угольных складов приводит к процессу ветровой эрозии мелкодисперсных частиц угля, находящихся на поверхности хранимого материала [4]. После отрыва частицы продолжают движение под действием аэродинамических сил. Определённая доля частиц уносится за пределы складской зоны, вызывая загрязнение прилегающих территорий, тогда как оставшиеся оседают в пределах склада. Эффективно организованный пылеулавливающий процесс позволяет существенно снизить потери и минимизировать негативное экологическое воздействие.

Характер движения угольной пыли обусловлен сложной нелинейной кинематикой воздушного потока, включая влияние турбулентных составляющих, а также геометрию и структуру размещения складов. Кроме того, направление и интенсивность ветра, определяемые розой ветров, оказывают существенное влияние на взаимодействие между различными складами. Например, склад, эксплуатирующийся на протяжении длительного времени, может частично экранировать поток и снижать пылеобразование на соседнем, только что насыпанном складе. Учет этих взаимодействий возможен посредством построения нелинейной математической модели, описывающей физику процесса с учетом всех значимых факторов.

В основе численного моделирования лежит анализ кинематической структуры потока, обтекающего поверхность складов. Для изучения взаимодействия воздушных масс с угольными частицами исследуется движение элементарного объема воздуха в произвольной точке пространства потока. Применяется второй закон Ньютона в отношении единичной массы воздуха, на которую действуют как внешние силы (преимущественно сила тяжести), так и внутренние — вызванные изменениями давления и инерционными эффектами. В результате выводится система уравнений, описывающих движение воздуха, включающая: инерционные, гравитационные и турбулентные составляющие.

Определяющим фактором пылеуноса является кинематическая структура потока ветрового воздействия на поверхности угольных складов [5]. Для исследования этих процессов взаимодействия движения воздушных масс по территории порта с угольными частицами, рассмотрим движение точечного объема воздуха в произвольном пространстве воздушного потока, который по определению является неразрывным. В качестве объекта исследования возьмём произвольную точку A, ограниченную прямоугольной областью дифференциально малых размеров -dx, dy, dz.

По второму закону Ньютона, рассматриваемая точка воздуха, воздействующая на частицы угольной пыли, имеет единичную массу. Как и всякое инерционное тело, она перемещается под воздействием суммы сил, вызывающих ускорение \vec{a} :

$$\sum \vec{F}' = m * \vec{a} \tag{1}$$

где $\sum {ec F}^{'}$ – сумма сил, действующих на точку воздуха;

m — единичная масса воздуха в пределах дифференциально малого объема;

 \vec{a} – сумма ускорений, действующих на точку воздуха.

Сумма сил, действующих на точку воздуха, складывается из внешних сил, которые воздействуют на поток \vec{F} и сил, которые будут удерживать рассматриваемую точку в



равновесии F^* со стороны потока [6,7]. Выражение (1) для объема единичной массы, получит вид:

$$\vec{F} + \vec{F}^* = \vec{a}_I + \vec{a}_T \tag{2}$$

Внешние силы, которые будут действовать на каждую воздушную частицу, обтекающую угольный склад, в данном случае будут сведены к одной силе – это сила тяжести. Таким образом, внутренняя сила по «х» и по «z», будет равна 0, а по оси «у» она будет равна «g»

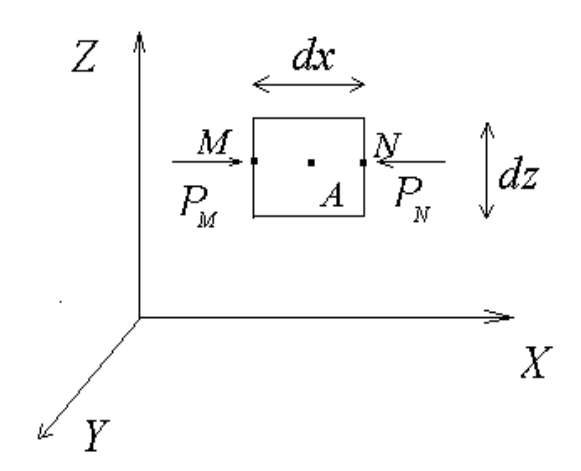
Величина \vec{F}^* , рассматриваемая в равновесии точки воздуха A с размерами dx, dy, dz, находящаяся в состоянии покоя разложим на три осевых составляющих и для примера будем рассматривать одну из проекций (см. рис. 1).

Изменение давления вдоль линии MN (параллельной оси OX) примем линейным, потому что размер точки дифференциально мал. В связи с этим, падение давления на единицу представим в виде частной производной dp/dx. В итоге давление в точках на гранях вокруг точки А можно представим в следующем виде:

$$p_{M} = p - \frac{1}{2} * dx * \frac{dp}{dx}$$

$$p_{N} = p + \frac{1}{2} * dx * \frac{dp}{dx}$$
(3)

где p — давление в точке A .



Pисунок 1 — Cхема воздушного потока вокруг точки A

Объем воздуха в точках M и N:

Ооъем воздуха в точках
$$M$$
 и N :
$$m * F_x^* = F_M - F_N = (p_M - p_N) dz dy$$
где $m * F_x^* = F_x^* \rho dx dz dy$
Плород мость ружомуму (5) момет буту, упочетруму момет

Подставим (6) в соотношение (5), получим:

$$F_{x}^{*}pdzdxzdy = -\frac{dp}{dx}dxdydz$$
$$F_{x}^{*} = -\frac{dp}{dx} \cdot \frac{1}{\rho}$$

Для получения системы уравнений Эйлера для воздуха находящегося в состоянии покоя спроецируем силы на оси Y и Z:



$$F_X^* = -\frac{dp}{dx} \cdot \frac{1}{\rho}$$

$$F_Y^* = -\frac{dp}{dy} \cdot \frac{1}{\rho}$$

$$F_Z^* = -\frac{dp}{dz} \cdot \frac{1}{\rho}$$
(7)

По принципу Д'аламбера, величины инерционного ускорения \vec{a}_I равна:

$$\vec{a}_x = \frac{dV_x}{dt} = \frac{dV_x}{dx}\frac{dx}{dt} + \frac{dV_x}{dy}\frac{dy}{dt} + \frac{dV_x}{dz}\frac{dz}{dt} + \frac{dV_x}{dt} = \frac{dV_x}{dx}V_x + \frac{dV_x}{dy}V_y + \frac{dV_x}{dz}V_z + \frac{dV_x}{dt}$$

Для определения компонента ускорений инерционной составляющей будем рассматривать компоненту ускорения на оси Y и Z, в итоге получим выражения:

$$\bar{a}_{Ix} = \frac{dV_x}{dx}V_x + \frac{dV_x}{dy}V_y + \frac{dV_x}{dz}V_z + \frac{dV_x}{dt}$$

$$\bar{a}_{Iy} = \frac{dV_y}{dx}V_x + \frac{dV_y}{dy}V_y + \frac{dV_y}{dz}V_z + \frac{dV_y}{dt}$$

$$\bar{a}_{Iz} = \frac{dV_z}{dx}V_x + \frac{dV_z}{dy}V_y + \frac{dV_z}{dz}V_z + \frac{dV_z}{dt}$$
(8)

Для нахождения величины турбулентного ускорения $\vec{a}_{\scriptscriptstyle T}$ используем гипотезу Рейнольдса-Бусинеска:

$$\vec{a}_T = \nu \vec{V}'' = \nu \Delta^2 \vec{V}$$

В проекциях на оси данные выражения получат следующий вид:

$$\vec{a}_{Tx} = v\Delta^2 \vec{V}_x = v \left(\frac{d''V_x}{dx} + \frac{d''V_x}{dy} + \frac{d''V_x}{dz} \right)$$

$$\vec{a}_{Ty} = v\Delta^2 \vec{V}_y = v \left(\frac{d''V_y}{dx} + \frac{d''V_y}{dy} + \frac{d''V_y}{dz} \right)$$

$$\vec{a}_{Tz} = v\Delta^2 \vec{V}_z = v \left(\frac{d''V_z}{dx} + \frac{d''V_z}{dy} + \frac{d''V_z}{dz} \right)$$
(9)

В итоге преобразования выражения (2) с учетом выражений (7-9). Также будем принимать дополнительно вертикальные плоскости, которые будут действовать на поток силой тяжести. Ее будем учитывать через ускорение свободного падения. В результате получим полную систему дифференциальных уравнений, описывающих воздушные потоки вокруг складов пылящих грузов на территории порта:

$$\frac{dV_{x}}{dt} - v \cdot \left(\frac{d^{2}V_{x}}{dx^{2}} + \frac{d^{2}V_{x}}{dy^{2}} + \frac{d^{2}V_{x}}{dz^{2}}\right) = -\frac{1}{\rho} \cdot \frac{dp}{dx};$$

$$\frac{dV_{y}}{dt} - v \cdot \left(\frac{d^{2}V_{y}}{dx^{2}} + \frac{d^{2}V_{y}}{dy^{2}} + \frac{d^{2}V_{y}}{dz^{2}}\right) = -\frac{1}{\rho} \cdot \frac{dp}{dy};$$

$$\frac{dV_{z}}{dt} - v \cdot \left(\frac{d^{2}V_{z}}{dx^{2}} + \frac{d^{2}V_{z}}{dy^{2}} + \frac{d^{2}V_{z}}{dz^{2}}\right) = -\frac{1}{\rho} \cdot \frac{dp}{dx};$$

$$\frac{dV_{x}}{dx} + \frac{dV_{y}}{dy} + \frac{dV_{z}}{dz} = -\frac{1}{\rho} \cdot \frac{dp}{dt};$$
(10)

Чтобы получить окончательные численные результаты, систему уравнений (10) дополняем начальными условиями и граничными условиями. Определяем область пространства, где задача формируется в расчетную область. Когда будет решен вопрос турбулентности в потоке выбора математической модели для определения V_t получим окончательное решение системы уравнений.

Для определения коэффициента турбулентного обмена используется классическая методика $k-\varepsilon$ [8, 9]. Данный коэффициент определяется как:

$$\nu_m = c_\rho \cdot \frac{k^2}{\varepsilon} \tag{11}$$



где k – кинетическая энергия турбулентности;

 C_{o} – турбулентная константа среды;

 ε –разбрасывание турбулентной энергии.

Используя выражение (1) и учитывая активную турбулентность в центре с учётом Рейнольдовской гипотезы, в зонах прилегания к поверхности склада и к поверхности территории порта воспользуемся формулами функций перехода ламинарно-турбулентной зоны в пристеночные области.

Пример расчёта воздушного потока, обтекающего склад с углём представлен на рисунке. Склад имеет следующие размеры

Ширина склада – 30 метров;

Высота склада – 10 метров;

Высота стенки – 12 метров;

Толщина ветрозащитного сооружения – 0,05 метров.

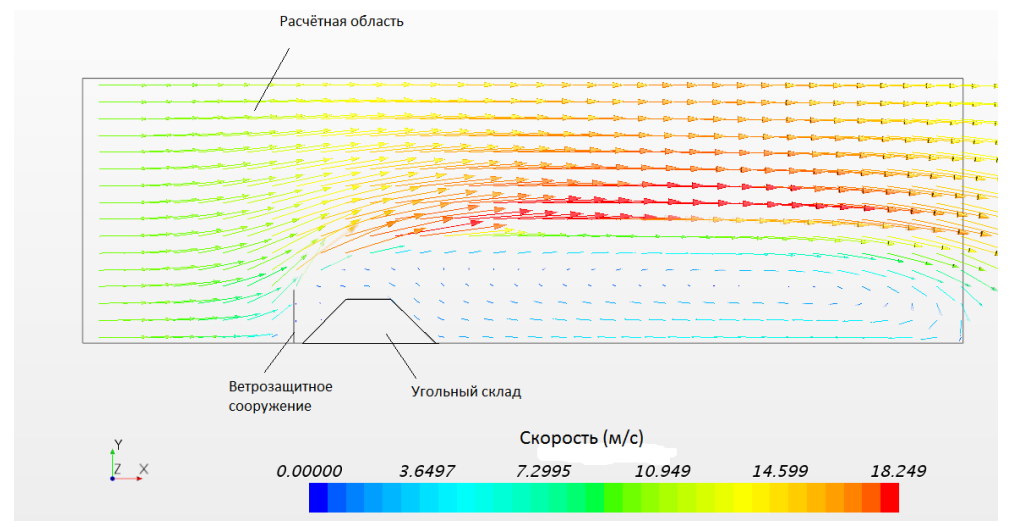


Рисунок 2 – Векторы направления воздушного потока и примерные значения скоростей

Характер расчётной области схематично представлен на рисунке 2, при этом выделяем входную область (слева), верхняя горизонталь (задаем симметрию) и нижняя часть (поверхность склада), которую мы моделируем условием не протекания. В выходной области задаётся условие развитого потока. С учётом этого, также ставится и граничное условие математической модели турбулентности.

Заключение

Реализация численного моделирования методом контрольного объема позволяет получить детальную картину структуры воздушного потока, обтекающего открытые угольные склады. Проведённый анализ даёт возможность формировать выводы о механизме пылеобразования, отрыве частиц угольной пыли и их последующем перемещении в пределах и за пределы складской территории. Полученные результаты могут быть использованы для оптимизации инженерных решений, направленных на снижение пылеобразования и повышения экологической безопасности портовой инфраструктуры.

Список литературы:

1. Отделкин, Н. С. Определение потерь и отрицательного воздействия на окружающую среду в результате пылеуноса при хранении навалочных грузов на открытых складах / Н.



- С. Отделкин, Д. Н. Костюничев. Материалы Международной научно-технической конференции «Транспортные и технологические машины». НГТУ, Н. Новгород, 2004, С. 128 132.
- 2. Отделкин, Н. С. Эколого-экономическое обоснование параметров открытых складов навалочных грузов путем прогнозирования процесса пылеуноса. / Н. С. Отделкин, Д. Н. Костюничев. «Экологические системы и приборы», №1, 2005, С. 30 33.
- 3. Отделкин, Н.С. Определение воздействия на окружающую среду портовых открытых складов для хранения сыпучих грузов. / Н. С. Отделкин, Д. Н. Костюничев. Тез.докладов VII Международного научно-промышленного форума «Великие реки 2005». Н.Новгород, 2005, С. 56 57.
- 4. Саломатников, М. Е. Исследование вопросов обоснования емкости и схем механизации складов угля и руды на причалах речных портов: автореф. дис... канд. техн. наук: 05.22.19/ Саломатников Михаил Евсеевич. Горький; 1970. 17 с.
- 5. Адамов Е.И. Совершенствование методов определения и снижения потерь от пылеобразования при перегрузке сыпучих грузов грейферными кранами и перегружателями. Дис... канд. тех. наук. Нижний Новгород, 2010. 122 с.
- 6.Hirt, C.W. Volume of Fluid (VOF) method for dynamical free boundaries / C.W. Hirt, B.D. Nicholls// J. Comput. Phys., 1981. № 39, pp.201-225.
- 7. Launder, B.E. The numerical computation of turbulent flows / B.E. Launder, D.B. Spalding, //, Comp. Meth. in Appl. Mech. and Eng., 1974, №3, pp. 269-289.
- 8. El Tahry, S.H. k-e equation for compressible reciprocating engine flows / S.H. El Tahry // AIAA J. Energy, 1983. No. 4, pp. 345-353.
- 9.Rodi, W. Influence of buoyancy and rotation on equations for turbulent length scale / Rodi, W.//, Proc. 2nd Symp. on Turbulent Shear Flows 1979, v. 1, pp. 25-31.

